

清华笔记：计算共形几何讲义 (21) 离散曲面曲率流 (Discrete Surface Ricci Flow) III

顾险峰 老顾谈几何 2017-08-17



以前章节，我们介绍了曲面曲率流的一种离散形式-离散Yamabe流，主要操作是顶点缩放 (Vertex Scaling) 来共形变换度量来实现目标曲率。在实践中，往往多面体曲面的三角剖分是固定的。如果给定一些较为极端的目标曲率，有可能离散曲率流会出现爆破情况 (blowup)，就是在有限时间内某个三角形退化 (degenerated)，离散度量不再满足三角形不等式。因此，如何解决离散曲率流的稳定性成为研究重点。

最为简洁有效的手段就是在曲率流中动态变换三角剖分，黎曼度量依随时间演化而变化，三角剖分依随度量的变化而变化，时刻保持是Delaunay剖分。这样，我们可以证明，对于任意满足高斯-博纳条件的目标度量，离散曲率流将会收敛到相应的目标曲率。这给了我们一个设计黎曼度量的强有力的工具。

这一讲，我们来证明离散曲面曲率流解的存在性，所用的数学工具主要是Teichmuller空间理论和代数拓扑中的区域不变定理。

存在性定理陈述

令 S 为一封闭曲面， $V = \{v_1, v_2, \dots, v_n\} \subset S$ 为离散顶点集合，满足欧拉示性数为负， $\chi(S - V) < 0$ 。我们考虑 (S, V) 上平直度量 d ，以顶点集合锥奇异点，我们将 d 称为是PL度量。

定义（离散共形等价度量） (S, V) 上的两个PL度量 d 和 d' 离散共形等价，如果存在 (S, V) 上的一系列PL度量

$$d_1 = d, d_2, \dots, d_m = d',$$

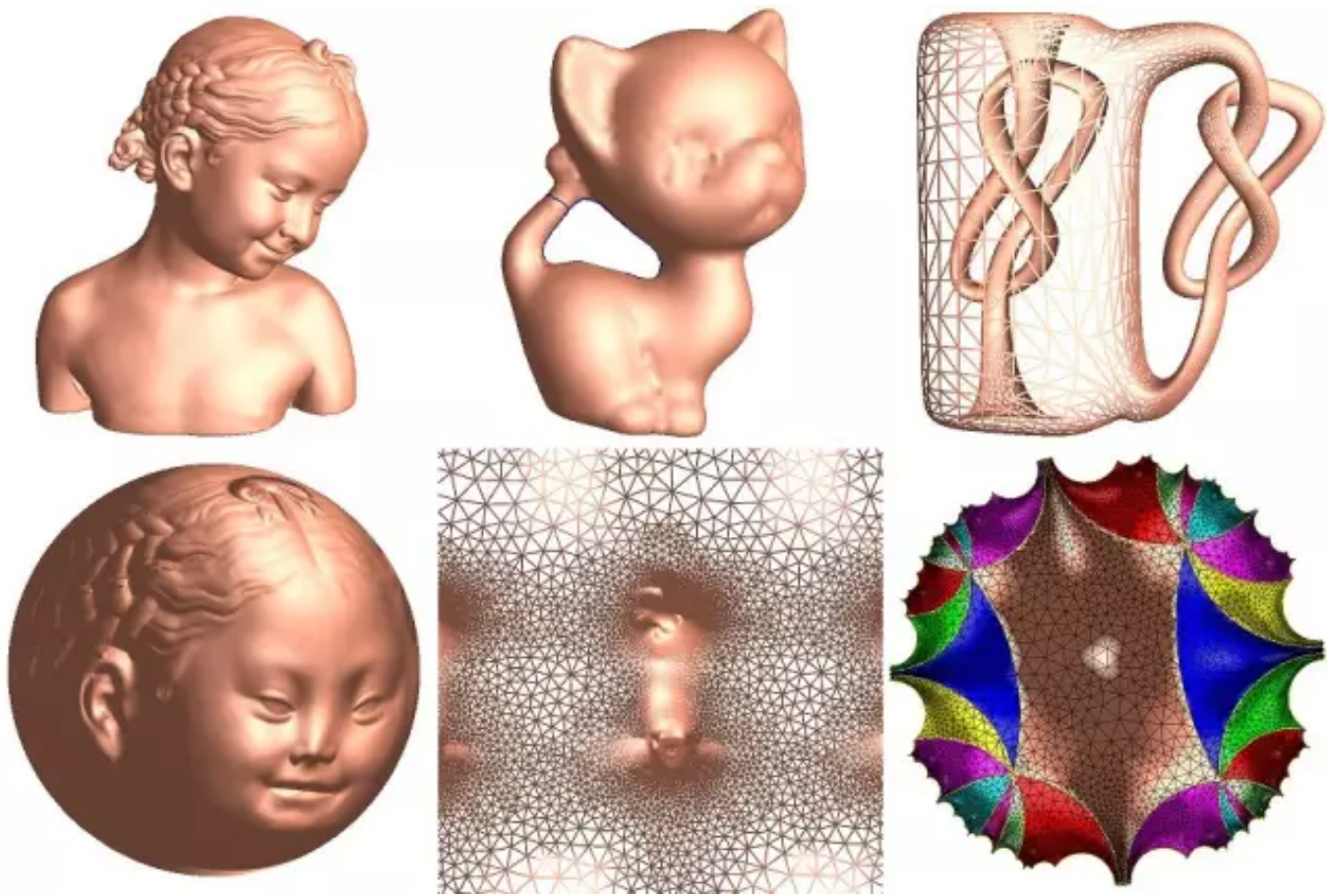
和一系列三角剖分

$$\mathcal{T}_1, \mathcal{T}_2, \dots, \mathcal{T}_n,$$

使得

1. 每一个三角剖分 \mathcal{T}_k 在度量 d_k 下是Delaunay 的；
2. 如果 $\mathcal{T}_i = \mathcal{T}_{i+1}$ ，则存在函数 $\mathbf{u} : V \rightarrow \mathbb{R}$ ，使得 $d_{i+1} = \mathbf{u} * d_i$ ，即两个PL度量彼此相差一个顶点缩放（Vertex Scaling）操作。
3. 如果 $\mathcal{T}_i \neq \mathcal{T}_{i+1}$ ，则存在一个等距变换 $h : (S, d_i) \rightarrow (S, d_{i+1})$ ，这一变换和 (S, V) 到自身的恒同变换同伦。

定理（存在性、唯一性定理）假设 (S, V) 是一个封闭的带顶点的曲面， d 是 (S, V) 的一个PL度量，那么对一切 $K^* : V \rightarrow (-\infty, 2\pi)$ ，满足高斯-博纳条件 $\sum_{v \in V} K^*(v) = 2\pi\chi(S)$ ，存在一个PL度量 d^* ，和度量 d 离散共形等价，诱导离散高斯曲率 K^* 。这样的PL度量彼此相差一个整体缩放系数。并且， d^* 可以由离散曲率流得到。



存在性和唯一性定理可以自然推出离散单值化定理。

推论（离散单值化）假设 (S, V) 是一个封闭的带顶点的曲面， d 是 (S, V) 的一个PL度量，那么存在一个PL度量 d^* ，和度量 d 离散共形等价，诱导离散高斯曲率为常数 $2\pi\chi(S)/|V|$ 。这样的PL度量彼此相差一个整体缩放系数。

由此，我们在离散的情形下证明了曲面微分几何最为根本的定理：单值化定理。

欧氏度量的Teichmuller空间

(S, V) 上的两个PL度量 d 和 d' 等价，如果存在一个等距变换 $h: (S, V, d) \rightarrow (S, V, d')$ ，同时 h 和 (S, V) 到自身的恒同变换同伦。 (S, V) 上所有PL度量的等价类构成PL度量的Teichmuller空间：

$$T_{pl}(S, V) = \{d | d \text{ a PL metric on } (S, V)\} / \text{isometry} \cong id$$

Troyanov曾经证明 $T_{pl}(S, V)$ 和 $\mathbb{R}^{-3\chi(S-V)}$ 拓扑同胚。

我们下面构造Teichmuller空间 $T_{pl}(S, V)$ 的局部坐标卡，从而证明 $T_{pl}(S, V)$ 是一个实解析流形。假设 \mathcal{T} 是 (S, V) 的一个三角剖分，其边长函数

$$\Phi_{\mathcal{T}} : \mathbb{R}_{\Delta}^{E(\mathcal{T})} \rightarrow T_{pl}(S, V)$$

给出了局部坐标，这里定义域

$$\mathbb{R}_{\Delta}^{E(\mathcal{T})} = \{x \in \mathbb{R}^E > 0 | x(e_i) + x(e_j) > x(e_k), e_i, e_j, e_k \text{ from a face}\}$$

是一个凸集合，并且是单射。我们用 $\mathcal{P}(\mathcal{T})$ 来表示 $\Phi_{\mathcal{T}}$ 的像集。那么 $(\mathcal{P}(\mathcal{T}), \Phi_{\mathcal{T}}^{-1})$ 构成了 $T_{pl}(S, V)$ 的一个局部坐标卡。

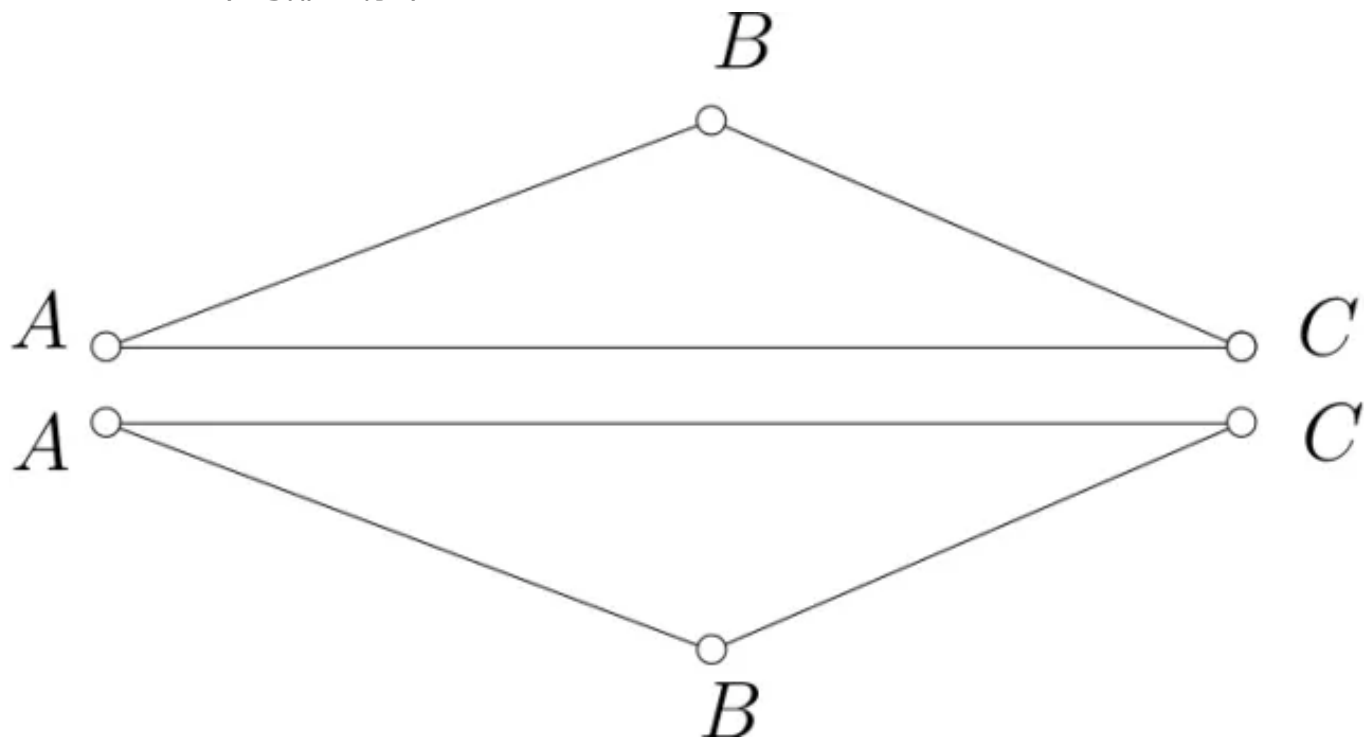


图6. 几何三角剖分。

如图6所示，我们取一个钝角三角形，将其双重覆盖，得到一个拓扑球面，带有三角剖分 \mathcal{T} 和PL度量 d 。如果我们将边AC进行Edge Swap，得到新的三角剖分 \mathcal{T}' ，那么在PL度量 d 下， \mathcal{T}' 为Delaunay三角剖分；如果我们对边BC进行Edge Swap，那么在PL度量 d 下，新的三角剖分不是几何的。这意味着，

$$\mathcal{P}(\mathcal{T}) \neq T_{pl}(S, V)。$$

由此，我们构造Teichmuller空间的一个图册，

$$\mathcal{A} = \{(\mathcal{P}(\mathcal{T}), \Phi_{\mathcal{T}}^{-1}) | \mathcal{T} \text{ a triangulation of } (S, V)\}。$$

给定 (S, V) 的两个三角剖分 T 和 T' ，我们可以用一系列的Edge Swap操作从一个三角剖分 T 变换成另外一个 T' 。如图5所示，如果两个三角剖分相差一个Edge Swap，则边长变换为实解析的。由此可以，Teichmuller空间 $T_{pl}(S, V)$ 是一个实解析流形。

Decorated 双曲度量的Teichmuller空间

令 S 为一封闭曲面， $V = \{v_1, v_2, \dots, v_n\} \subset S$ 为离散顶点集合，满足欧拉示性数为负， $\chi(S - V) < 0$ 。我们在 (S, V) 上配备有限面积的完备双曲度量 d ，使得每个顶点成为无穷远的尖点（cusp）。我们在每个顶点 v_i 处放置一个horosphere，记为 H_i 。Horosphere和双曲曲面交线 ∂H_i 的长度记为 w_i ，表面上的Decorated 双曲度量记为 (d, w) ，这里 $w = (w_1, w_2, \dots, w_n)$ 。两个Decorated曲度量 (d, w) 和 (d', w') 等价，如果存在一个等距变换

$$h : (S, V, d, w) \rightarrow (S, V, d', w'),$$

同时 h 和 (S, V) 到自身的恒同变换同伦，同时保持horospheres。 (S, V) 上所有Decorated双曲度量的等价类构成Teichmuller空间 $T_D(S, V)$ 。

同样，我们可以构造Teichmuller空间 T_D 的局部坐标系。固定 (S, V) 的一个三角剖分 T ，Penner的 λ 长度给出了映射 $\Psi_T : \mathbb{R}^{E(T)} \rightarrow T_D$ 。令 e_i, e_j, e_k 构成 T 的一个面，我们构造一个Decorated 双曲三角形，具有边长

$$2 \ln x(e_i), 2x(e_j), 2 \ln x(e_k),$$

我们再将所有这些Decorated 双曲三角形沿着公共边等距粘贴起来，就得到一个Decorated双曲度量 (d, w) 。

我们考虑 (S, V) 上所有具有有限面积的完备双曲度量的Teichmuller空间 $T_H(S, V)$ ，这样我们得到两个Teichmuller空间之间的关系：

$$T_D = T_H \times \mathbb{R}_{>0}^n.$$

在双曲曲面 (S, V, d) 上， H_i 是以尖点 $v_i \in V$ 为球心的Horosphere。我们变动 ∂H_i 的长度，从 w_i 变成了 $w'_i = w_i e^t$ ，那么 $t = d(\partial H_i, \partial H'_i)$ ，是边界 ∂H_i 和 $\partial H'_i$ 之间的双曲距离。由此，我们得到如果 $\Psi_T(x) = [(d, w)]$ ，那么

$$\Psi_T(e^t x) = [(d, e^{-t} w)].$$

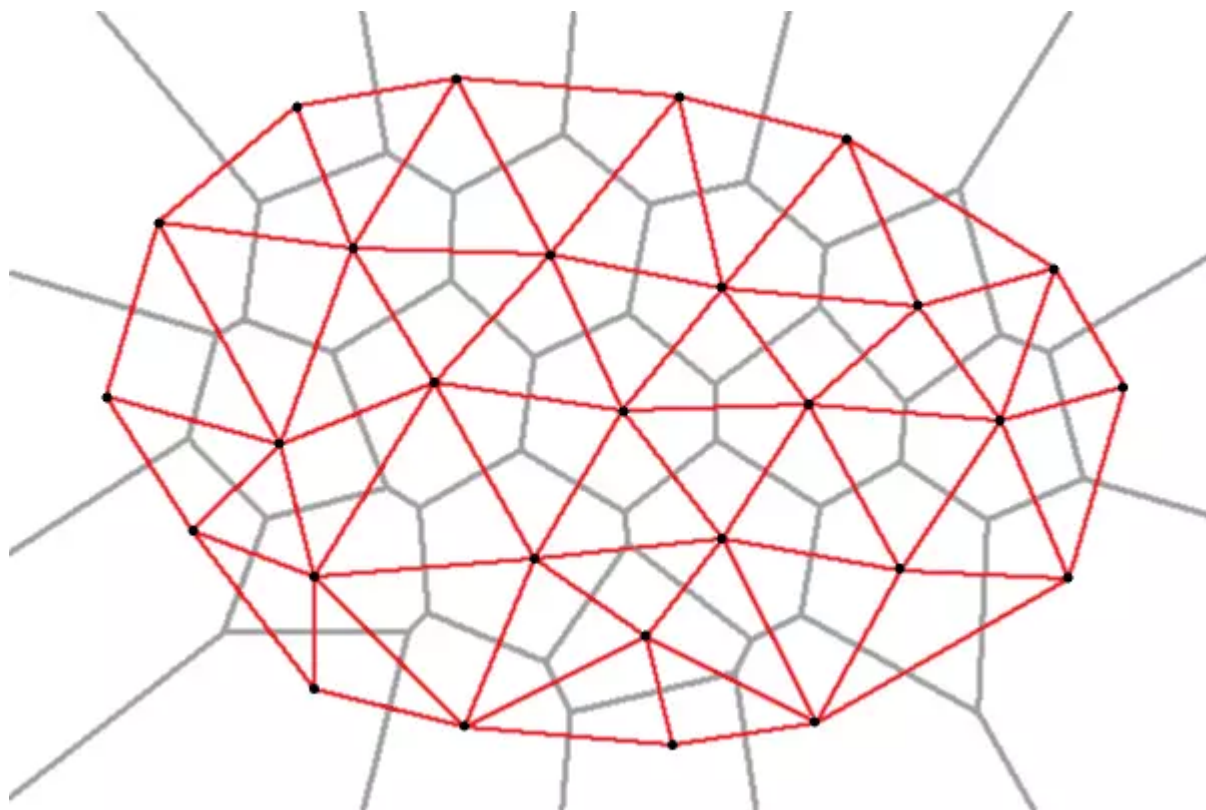


图1. Delaunay三角剖分，对偶的Voronoi Diagram。

我们可以用距离来定义Delaunay三角剖分。如图1所示，我们可以在离散曲面上定义测地Voronoi Diagram,

$$M = \bigcup_{v_i \in V} W(v_i),$$

这里Voronoi胞腔

$$W(v_i) = \{p \in M | d_{\mathbf{g}}(v_i, p) \leq d_{\mathbf{g}}(v_j, p), \forall v_j \in V\},$$

这里 $d_{\mathbf{g}}(\cdot, \cdot)$ 代表测地距离。测地Voronoi Diagram的对偶被称为是测地Delaunay三角剖分。可以证明，通常对于一般 (generic) 的多面体度量，Delaunay三角剖分存在并且唯一。反之，给定带顶点曲面 (S, V) 一个三角剖分 \mathcal{T} ，则必然存在 (S, V) 的一个平直度量 d ，使得 \mathcal{T} 在 d 下成为Delaunay三角剖分。（例如，我们令 \mathcal{T} 所有的边长为1，如此得到的 d 即可。）

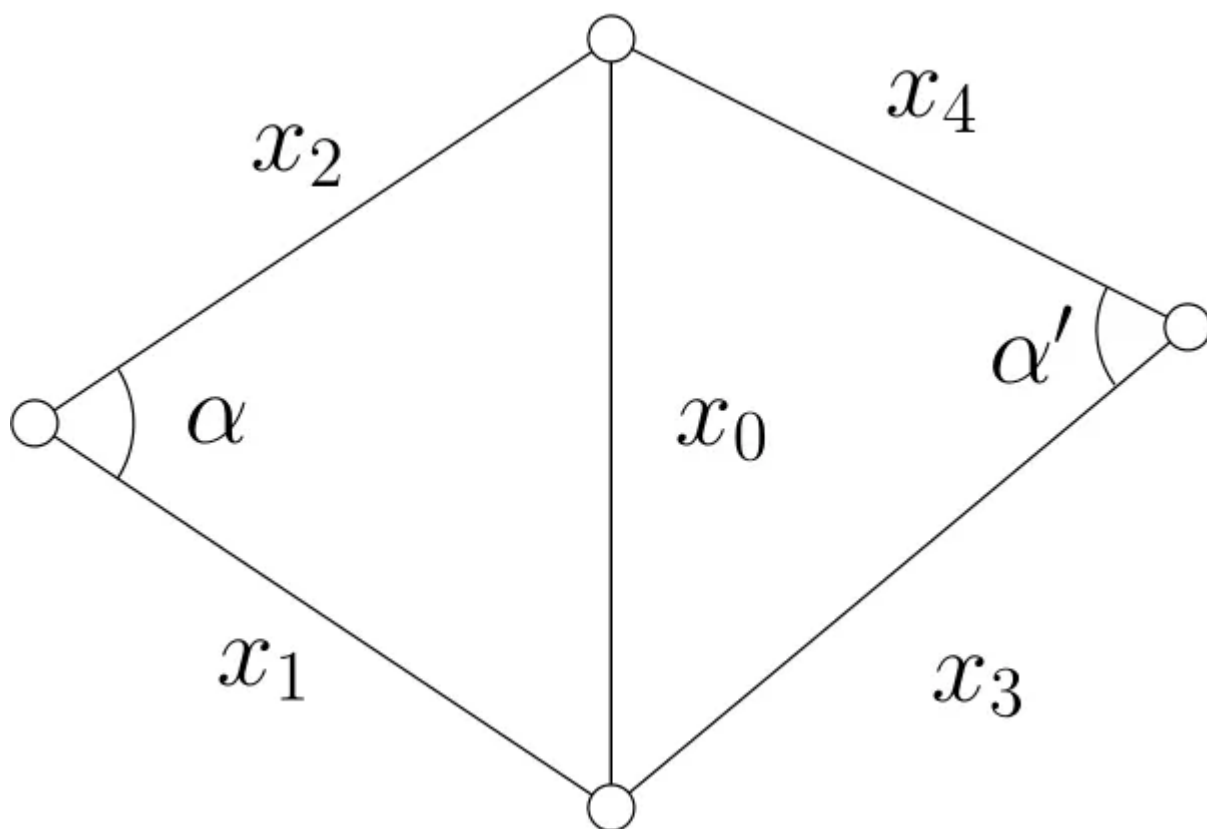


图2. Delaunay三角剖分的条件。

图2显示了Delaunay三角剖分的等价条件：对于每一条内边，其对角和不大于 π ，意即

$$\alpha + \alpha' \leq \pi,$$

这等价于

$$\cos \alpha + \cos \alpha' \geq 0,$$

用边长表示

$$\frac{x_1^2 + x_2^2 - x_0^2}{2x_1x_2} + \frac{x_3^2 + x_4^2 - x_0^2}{2x_3x_4} \geq 0$$

我们可以证明，上述等式蕴含着三角形不等式：固定三角剖分 \mathcal{T} ，给定边长函数 $x: E(\mathcal{T}) \rightarrow \mathbb{R}_{>0}$ ，任意一条边满足上式，那么在任意一个面上，三角形不等式成立。

双曲Delaunay三角剖分

令 S 为一封闭曲面， $V = \{v_1, v_2, \dots, v_n\} \subset S$ 为离散顶点集合，满足欧拉示性数为负， $\chi(S - V) < 0$ 。我们在 (S, V) 上配备有限面积的完备双曲度量 d ，使得

每个顶点成为无穷远的尖点（cusp）。我们在每个顶点 v_i 处放置一个horosphere，记为 H_i 。Horosphere和双曲曲面交线 ∂H_i 的长度记为 w_i ，曲面上的Decorated 双曲度量记为 (d, w) ，这里 $w = (w_1, w_2, \dots, w_n)$ 。

我们考虑紧曲面

$$X_w = (S, V, d) - \bigcup_{i=1}^n \text{int}(H_i(w)) ,$$

这里 $\text{int}(H_i(w))$ 为Horosphere的内部。我们定义Voronoi胞腔分解,

$$X_w = \bigcup_{i=1}^n R_w(i) ,$$

这里Voronoi胞腔定义为

$$R_w(i) = \{p \in X_w | d(p, \partial H_i(w)) \leq d(p, \partial H_j(w)), \forall j\}.$$

X_w 上的一条正交测地线 (orthogeodesic) 是从 ∂X_u 到 ∂X_w 的测地线, 同时和边界 ∂X_w 垂直。 X_w 的Voronoi胞腔分解也是 (S, V, d) 的胞腔分解, 其对偶的三角剖分 $\mathcal{T}(d, w)$ 被称为是 X_w 的Decorated 双曲Delaunay三角剖分, 其中每条边都是连接两个尖点的正交测地线。

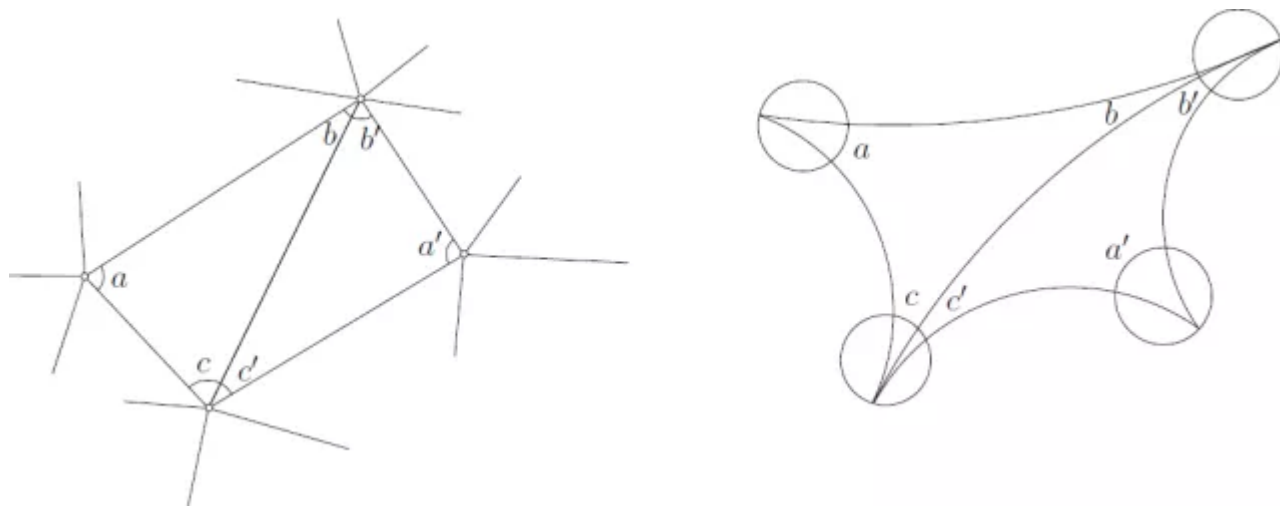


图3. 欧氏和双曲Delaunay三角剖分。

等价地, 我们也可以用角度来定义Delaunay三角剖分。如图3所示, 在欧氏度量下和Decorated 双曲度量下, 一个三角剖分是Delaunay的充分必要条件是: 对于任意一对相邻的三角形, 其角度满足不等式

$$a + a' \leq b + b' + c + c'.$$

我们用Penner's λ 长度, 利用Decorated双曲余弦定理, 上式等价于

$$\frac{x_0}{x_1 x_2} + \frac{x_0}{x_3 x_4} \leq \frac{x_1}{x_0 x_2} + \frac{x_2}{x_0 x_1} + \frac{x_4}{x_0 x_3} + \frac{x_3}{x_0 x_4},$$

由此我们得到

$$\frac{x_1^2 + x_2^2 - x_0^2}{2x_1x_2} + \frac{x_3^2 + x_4^2 - x_0^2}{2x_3x_4} \geq 0,$$

这和欧氏的Delaunay条件完全等价。

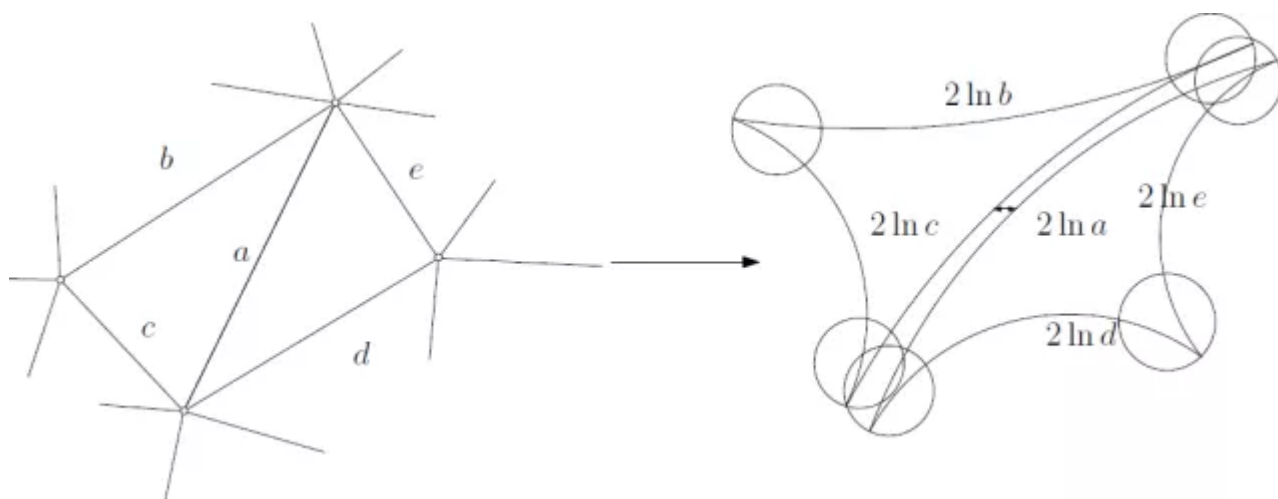


图4. 欧氏度量到decorated hyperbolic 度量的转换, $(l_i, l_j, l_k) \mapsto (2 \ln l_i, 2 \ln l_j, 2 \ln l_k)$ 。

我们可以直接证明，图4所示的从欧氏度量到decorated hyperbolic 度量的变换将欧氏Delaunay三角剖分映成双曲Delaunay三角剖分。

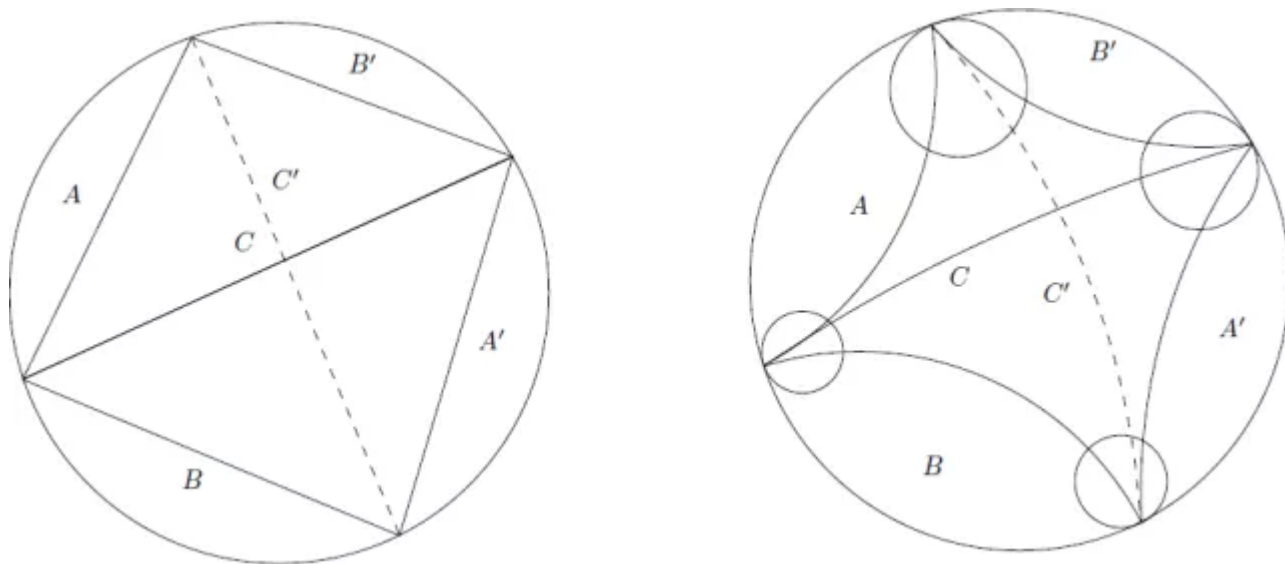


图5. 欧氏和双曲的Ptolemy等式。

在特殊情况下，同样的欧氏度量，会有两个Delaunay三角剖分，这时存在两个相邻的三角形，四个顶点共圆，如图4左帧所示。这时，边长满足所谓的Ptolemy等式：

$$CC' = AA' + BB',$$

这两个Delaunay三角剖分相差一个对角线对换。那么，欧氏度量对应的双曲度量的Delaunay三角剖分也不唯一，彼此也相差一个对角线对换，如图5右帧所示，双曲的 λ -长度也满足Ptolemy等

式。

Teichmuller空间之间的微分同胚

我们首先对PL度量的Teichmuller空间进行胞腔分解。首先定义胞腔

$$D_{pl}(\mathcal{T}) = \{[d] \in T_{pl}(S, V) \mid \mathcal{T} \text{ is Delaunay w.r.t. } d\}.$$

我们需要证明 D_{pl} 是一个单联通的胞腔。我们将边长 $x(e)$ 坐标转换成Rivin坐标 $y(e)$ ，如图2所示，每个边的Rivin坐标是对角和， $y(e) = \alpha + \alpha'$ 。 (S, V, \mathcal{T}, d) 的边长可以被对应的Rivin坐标在相差一个放缩系数的情况下所决定。因此，

$$D_{pl}(\mathcal{T}) = \{y(e) \in (0, \pi) \mid e \in E(\mathcal{T})\} \times \mathbb{R}_{>0}^E$$

是一个凸集。 D_{pl} 是一个单联通的胞腔。Teichmuller空间的胞腔分解，

$$T_{pl}(S, V) = \bigcup_{\mathcal{T}} D_{pl}(\mathcal{T}).$$

同样，我们可以构造Decorated双曲度量Teichmuller空间的胞腔分解，

$$T_D(S, V) = \bigcup_{\mathcal{T}} D(\mathcal{T}),$$

这里胞腔

$$D(\mathcal{T}) = \{(d, w) \in T_D(S, V) \mid \mathcal{T} \text{ is Delaunay w.r.t. } (d, w)\}.$$

我们用Penner的 λ 长度来建立两个胞腔之间的同胚，

$$A_{\mathcal{T}} = \Psi_{\mathcal{T}} \circ \Phi_{\mathcal{T}}^{-1} : D_{pl}(\mathcal{T}) \rightarrow D(\mathcal{T}), \quad x(e) \mapsto 2 \ln x(e)$$

因为Penner的 λ 长度映射将欧氏Delaunay三角剖分映成Decorated双曲Delaunay三角剖分，并且Delaunay性质蕴含三角形不等式，因此 $A_{\mathcal{T}}$ 是微分同胚。

假设三角剖分 \mathcal{T} 和 \mathcal{T}' 相差一个Edge Swap，考察一个PL度量 $[d] \in D_{pl}(\mathcal{T}) \cap D_{pl}(\mathcal{T}')$ ，则在 d 下 \mathcal{T} 和 \mathcal{T}' 中存在四点共圆如图5所示。由Ptolemy等式，我们得到对于任意 $x \in \Phi_{\mathcal{T}}^{-1}(D_{pl}(\mathcal{T})) \cap D_{pl}(\mathcal{T}')$

$$\Phi_{\mathcal{T}'}^{-1} \circ \Phi_{\mathcal{T}'}(x) = \Psi_{\mathcal{T}}^{-1} \circ \Psi_{\mathcal{T}'}(x),$$

这等价于

$$A_{\mathcal{T}}|_{D_{pl}(\mathcal{T}) \cap D_{pl}(\mathcal{T}')} = A_{\mathcal{T}'}|_{D_{pl}(\mathcal{T}) \cap D_{pl}(\mathcal{T}')}. \quad \square$$

由此，我们将分片同胚 $A_{\mathcal{T}}$ 粘贴起来，构成一个整体同胚：

$$A : T_{pl}(S, V) \rightarrow T_D(S, V), \quad A|_{D_{pl}(\mathcal{T})} = A_{\mathcal{T}}|_{D_{pl}(\mathcal{T})}.$$

我们进一步可以证明，这个映射是全局 C^1 微分同胚。

存在性证明

我们现在来证明主要定理。首先我们构造一个映射： $F : \Omega_u \rightarrow \Omega_K$,

$$\Omega_u \xrightarrow{\exp} \{p\} \times \mathbb{R}_{>0}^{|V|} \rightarrow T_D(S, V) \xrightarrow{A^{-1}} T_{pl}(S, V) \xrightarrow{K} \Omega_K$$

这里定义域 Ω_u 是离散共形因子空间是欧氏空间中的超平面,

$$\Omega_u = \mathbb{R}^n \cap \left\{ \mathbf{u} \mid \sum_{i=1}^n u_i = 0 \right\},$$

值域 Ω_K 是离散曲率空间,

$$\Omega_K = \left\{ \mathbf{K} \in (-\infty, 2\pi)^n \mid \sum_{i=1}^n K_i = 2\pi\chi(S) \right\},$$

它们都是欧氏空间 \mathbb{R}^{n-1} 中的开集。

因为 $A : T_{pl}(S, V) \rightarrow T_D(S, V)$ 是 C^1 映射, $K : T_{pl}(S, V) \rightarrow \mathbb{R}^n$ 是实解析的, 因此 F 是 C^1 的。

我们首先证明映射 $F : \Omega_u \rightarrow \Omega_K$ 是单射。我们来考察离散熵能量的凸性,

$$E(\mathbf{u}) = \int^{\mathbf{u}} \sum_{i=1}^n K_i du_i.$$

在优化过程中，三角剖分一直保持是Delaunay。每条Voronoi Diagram的边，都对应于Delaunay三角剖分的一条边 $e \in E$ ，两条边的比值被称为是这条Delaunay边的权重 $w(e)$ ，即为余切权重。Delaunay三角剖分保证边的权重非负 $w(e) \geq 0$ 。

由此，我们定义曲面的离散Laplace-Beltrami算子 Δ ，给定任意一个定义在顶点集上的离散函数 $f: V \rightarrow \mathbb{R}$ ，离散函数可以利用重心坐标线性拓展成分片线性函数，

$$\Delta f(v_i) = \sum_{v_j \sim v_i} w_{ij}(f(v_j) - f(v_i))$$

通过直接计算我们可以证明，

$$\frac{1}{2} \mathbf{f}^T \Delta \mathbf{f} = \int_M |\nabla f|^2 dA$$

由此我们证明离散Laplace-Beltrami算子是半正定矩阵，其零空间是直线，由向量 $(1, 1, \dots, 1)^T$ 生成。我们需要下面的引理：

引理 假设函数 $f: \Omega \rightarrow \mathbb{R}$ 是定义在凸集 Ω 上的 C^2 严格凸函数，那么梯度映射 $\mathbf{x} \mapsto \nabla f(\mathbf{x})$ 是单射。

假设存在 $\mathbf{x}_1 \neq \mathbf{x}_2$ ，但是 $\nabla f(\mathbf{x}_1) = \nabla f(\mathbf{x}_2)$ 。构造函数 $g(t) = f((1-t)\mathbf{x}_1 + t\mathbf{x}_2)$ 。因为 Ω 是凸集，线段 $\{(1-t)\mathbf{x}_1 + t\mathbf{x}_2 | t \in [0, 1]\}$

则一阶导数

$$g'(t) = (\mathbf{x}_2 - \mathbf{x}_1)^T \nabla f((1-t)\mathbf{x}_1 + t\mathbf{x}_2),$$

二阶导数

$$g''(t) = (\mathbf{x}_2 - \mathbf{x}_1)^T \frac{\partial^2 f((1-t)\mathbf{x}_1 + t\mathbf{x}_2)}{\partial x_i \partial x_j} (\mathbf{x}_2 - \mathbf{x}_1) > 0$$

因此 $g'(0) < g'(1)$ 。但是另一方面，

$$g'(0) = (\mathbf{x}_2 - \mathbf{x}_1)^T \nabla f(\mathbf{x}_1) = (\mathbf{x}_2 - \mathbf{x}_1)^T \nabla f(\mathbf{x}_2) = g'(1)$$

矛盾。因此梯度映射为单射。

我们这里离散熵能量的海森矩阵（Hessian Matrix）就是离散Laplace-Beltrami算子，因此熵能量在定义域 Ω_u 上是严格凸的。另外，共形因子的定义域 Ω_u 是一个凸集。离散熵能量的梯度是当前曲率。因此，映射 $\mathbf{u} \mapsto \nabla E(\mathbf{u}) = \mathbf{K}(\mathbf{u})$ 是单射。

接下来，我们再证明 $F: \Omega_u \rightarrow \Omega_K$ 是满射。这需要用到代数拓扑中的区域不变性定理。

定理：（Invariance of Domain）如果 U 是 \mathbb{R}^n 中的开集， $f: U \rightarrow \mathbb{R}^n$ 是连续单射，那么 $V = f(U)$ 开集， f 是 U 和 V 之间的同胚。

因为 Ω_u, Ω_K 都是 $n-1$ 维的开集， F 为连续单射，因此 $F(\Omega_u)$ 是开集。我们需要证明 $F(\Omega_u)$ 在 Ω_K 中是闭的。我们取一个序列 $\{x_k\} \subset \Omega_u$ ，使得 x_k 离开 Ω_u 中所有紧集，欲证 $F(x_k)$ 离开 Ω_K 中紧集。由Akiyoshi的一个结果， $\{p\} \times \mathbb{R}_{>0}^n$ 和 $T_D(S, V)$ 相交于有限个胞腔，因此我们可以假设三角剖分 T 固定。 x_k 离开 Ω_u 中所有紧集，意味着存在一个顶点 $v \in V$ ， $\lim_{k \rightarrow \infty} x_k(v) \rightarrow \infty$ ，其相邻顶点共形因子趋向于有限值。容易证明 $\lim_{k \rightarrow \infty} K(v) \rightarrow 2\pi$ 。这证明了 $F(\Omega_u)$ 在 Ω_K 中是闭的，因此 $\Omega_K = F(\Omega_u)$ ， $F: \Omega_u \rightarrow \Omega_K$ 为微分同胚。

总结

离散曲面曲率流解的存在性证明，最为困难之处在于三角剖分的动态变化。传统的算法，例如有限元方法，多是基于固定三角剖分进行分析。在我们的推导中，黎曼度量一直起到主导作用，三角剖分退为其次。这意味着组合结构应该为几何结构服务。

回顾以上证明过程，我们看到需要一些比较深入的双曲几何和Teichmuller 空间理论。虽然结论和算法貌似初等，但是其后面的理论基础却是非常现代而深奥，并且和连续理论所用的数学工具迥然不同。这显示了将连续理论推广成离散理论的内在难度。但是，为了适应计算机迅猛的发展，推广古典几何理论和建立离散理论已经成为时代的必然。

Reference

- X. Gu, R. Guo, F. Luo, J. Sun and T. Wu, A discrete Uniformization theorem for polyhedral surfaces I, Journal of Differential Geometry, 2016 (arXiv:1309.4175)
- X. Gu, R. Guo, F. Luo, J. Sun and T. Wu, A discrete Uniformization theorem for polyhedral surfaces II, Journal of Differential Geometry, 2016 (arXiv:1401.4594)